

with chronic lymphatic or myelogenic leukemias and a lower into neutral fat has been observed.

3) Differences between the exchange of phospholipids with plasma in different types of leukemia has also been observed.

(From the Department of Clinical Therapeutics University of Athens).

#### ΒΙΒΛΙΟΓΡΑΦΙΑ

1. BUCHANAN, A. A., Bioch. J. 75, 315 (1960).
2. MIRAS, C., FILLERUP, D. S., Mead J. F. Nature. 190, 4770, (1961).
3. ROWE, C. E., Bioch. J. 76, 471 (1960).
4. ΜΑΛΑΜΟΣ Β., ΜΟΙΡΑΣ Κ., ΛΕΒΗΣ Γ., ΜΑΝΤΖΟΣ Ι., J. Lipid Research (1961) (ύπο δημοσίευσιν).
5. LOVELOCK, J. E., JAMES, A. T., ROWE, C. E., Bioch. J. 74, 137 (1960).
6. MARKS, P. A., GELLHORN, A., KIDSON, C., J. Biol. Chem. 235, 2579, (1960).
7. WAGNER, R., SPARACO, R., Ann. N. Y. Acad. Sci. 75 (1) 16 (1958).
8. FOLCH, J., LEES, M., J. Biol. Chem. 226, 497 (1957).
9. KING, E. J., WOOTTON, J. D., Micro-analysis in Medical biochemistry A. Churchill Ltd. London (1956).
10. ENTENMAN, C., LERNER, S. R., CHAIKOFF, I. L. and DANBEN, W. C., Proc. Soc. Exp. Biol. Med. 70, 364 (1949).
11. ΜΟΙΡΑΣ Κ., ΜΑΝΤΖΟΣ Ι., Πρακτ. Ακαδ. Αθηνών, σελ. 26 κ.έξ. τοῦ παρόντος τόμου.
12. GREEN, H. N., Cancer 3, 1, Ed. Raven, R. W., London.
13. ARTOM, C., J. Biol. Chem. 213, 681, (1955).
14. MARINETTI, G. V. and STOTZ, E. J., J. Biol. Chem. 217, 745 (1951).
15. RODBELL, M. and HANAHAM, D., J. Biol. Chem. 214, 595 (1955).
16. SWANSON, M. A. and MITCHELL, M. C., Federation Prob. II, 296 (1952).
17. ΓΑΛΑΝΟΣ Δ. Σ. καὶ ΜΑΡΚΕΤΟΣ Δ. Γ., Χημικά χρονικά, τόμ. 21A, (12) σελ. 285 (1956).
18. BOYD, E. M., Arch. Path. 21, 739 (1936).

**BIOΧΗΜΕΙΑ.**— Παρατηρήσεις ἐπὶ τοῦ μεταβολισμοῦ τῶν λιποειδῶν ύπὸ τῶν λευκῶν αίμοσφαιρίων λευχαιμικῶν ἀτόμων μετὰ ἡ ἄνευ θεραπείας (*in vitro*)\*, ὑπὸ Κ. Μοίρα καὶ Ιω. Μάντζου\*\*. Ἀνεκοινώθη ὑπὸ τοῦ κ. Γεωργ. Ἰωακείμογλου.

Ἡ θεραπευτικὴ τῶν κακοήθων νόσων τοῦ λευκοποιητικοῦ συστήματος τοῦ αἷματος περιλαμβάνει ἔκτὸς τῶν παραγώγων τοῦ ἀζωθυπερίτου καὶ συγγενῶν πρὸς αὐτὸν ἐνώσεων (καλουμένων καὶ ἀλκυλοιούντων παραγόντων—Alkylating Agents)

\* (Ἐκ τῆς Θεραπευτικῆς Κλινικῆς τοῦ Πανεπιστημίου Ἀθηνῶν).

\*\* C. MIRAS and J. MANTZOS, Studies on the metabolism of lipids by leukemic leucocytes before and after treatment (*in vitro*).

ποικιλίαν ούσιῶν, αἵτινες ἀνταγωνίζονται διαφόρους παράγοντας ἀναγκαίους διὰ τὴν πυρηνικὴν διαίρεσιν καὶ τὴν ἐν γένει ζωὴν τοῦ κυττάρου. Γίνεται ἐν τῇ πράξει ἐπίσης εὐρεῖα χρῆσις ἀκτινοβολίας δι᾽ ἀκτίνων X καὶ γ, ραδιενεργῶν ίσοτόπων ὡς καὶ ὁρμογῶν τοῦ φλοιοῦ τῶν ἐπινεφριδίων.

Ἡ ἀξιολόγησις ὅμως τῆς μεγάλης αὐτῆς ποικιλίας θεραπευτικῶν μέσων προσκρούει εἰς τὴν ἔλλειψιν ἐπαρκῶν στοιχείων εἰς ὅτι ἀφορᾷ τὸν μηχανισμὸν δράσεώς των ἐπὶ τῶν ἔξαλλαγέντων ὡς ἐπίσης καὶ τῶν φυσιολογικῶν κυττάρων. Διάφοροι μὴ εἰδικαὶ ἀντιδράσεις παρατηρήθεισαι *in vitro* περιπλέκουν ἐτι πλέον τὸ πρόβλημα τοῦτο. Εἰς τὰ ἀνωτέρω πρέπει νὰ προστεθῇ ἡ δυνατότης ἐμφανίσεως ἀντιστάσεως καὶ ἐλαττώσεως τῆς εὐάισθησίας τῶν ἔξαλλαγέντων κυττάρων (1, 2, 3) πρὸς τὰ χορηγούμενα θεραπευτικῶς μέσα, ὡς ἐπίσης καὶ ἡ διασταυρουμένη τοιαύτη πρὸς ἔτερα μηδέποτε χορηγηθέντα (4, 5). Υπὸ τοιαύτας συνθήκας πᾶσα βιολογικὴ ἀντίδρασις κατὰ τὴν διάρκειαν τῆς θεραπευτικῆς χορηγήσεως τῶν παραγόντων τούτων ἀποκτᾷ ἔξαιρετικὴν σημασίαν. Ἰδιαίτέρως, ἐνδεχομένη ἐπὶ τῆς συνθέσεως τῶν λιποειδῶν ἐπίδρασις δύναται νὰ ὀδηγήσῃ εἰς νέας κατευθύνσεις καὶ νὰ ἔξαχθοῦν συμπεράσματα διὰ τὴν δρᾶσιν των, ὡς καὶ τὰς ἐνδείξεις διακοπῆς χορηγήσεως των. Τοῦτο ἐνισχύεται ἐκ τῆς παρατηρήσεως, ὅτι ἡ σύνθεσις τῶν λιποειδῶν εἰς τὰ λευκὰ αίμοσφαίρια τῶν λευχαιμικῶν ἀτόμων ἀποκλίνει τοῦ φυσιολογικοῦ (6).

Ἐν τῇ παρούσῃ ἐργασίᾳ ἐμελετήθη ἡ ἐνσωμάτωσις τοῦ ραδιενεργοῦ ὀξεικοῦ  $\text{Na}$  ( $\text{CH}_3\text{COO Na - I - C}^{14}$ ) εἰς τὰ λιποειδῆ τῶν λευκῶν αίμοσφαίριων λευχαιμικῶν ἀσθενῶν προηγουμένως, κατὰ τὴν διάρκειαν καὶ μετὰ τὴν διακοπὴν τῆς θεραπευτικῆς ἀγωγῆς διὰ διαφόρων φαρμάκων.

#### ΤΕΧΝΙΚΗ

*Ἐπώασις - Απομόνωσις λευκῶν αίμοσφαίρων.* Ολικὸν αἷμα προσφάτως ληφθὲν δι᾽ ἀντιπηκτικοῦ (1,32%) κιτρικὸν νάτριον, 0,48% ἔνυδρον κιτρικὸν ὄξος, 1,47% δεξτρόζη) εἰς ἀναλογίαν ὅγκων 4:1 φέρεται ἐντὸς κωνικῆς φιάλης καὶ προστίθενται 100 μονάδες ἀνὰ κ.ἔκ. πενικιλίνης, 100γ/κ.ἔ. στρεπτομυκίνης καὶ 0,5 μC/κ.ἔ.  $\text{CH}_3\text{COONa - I - C}^{14}$  (εἰδικῆς ραδιενεργείας 48,9 μC/mg).

Ἡ φιάλη τοποθετεῖται ἐντὸς εἰδικοῦ ὑδατολούτρου καὶ ἀνακινεῖται ἐντὸς αὐτοῦ ἐπὶ ἔξαρον εἰς θερμοκρασίαν 37 °C καὶ εἰς ἀτμόσφαιραν  $\text{O}_2\text{-CO}_2$  (95:5 κατ<sup>ο</sup> ὅγκον).

Οσάκις εἶναι ἀναγκαῖον γίνεται πρὸ ἡ μετὰ τὴν ἐπώασιν ἀπομόνωσις τῶν λευκῶν αίμοσφαίριων. Αὕτη ἐπιτυγχάνεται διὰ συσσωματώσεως (Packing) καὶ κατακρημνίσεως τῶν ἐρυθρῶν αίμοσφαίριων διὰ διαλύματος πολυβινυλοπυρολιδόνης, παραλαβῆς τοῦ ἐμπλουτισμένου εἰς λευκὰ αίμοσφαίρια πλάσματος καὶ φυγοεντρήσεως τούτου εἰς 50g ἐπὶ 15'. Μετὰ τὴν ἀπομάκρυνσιν τοῦ ὑπερκειμένου πλάσματος παραλαμβάνονται

τὰ λευκὰ αίμοσφαίρια καὶ ἀκολουθεῖ ἡ ἐκχύλισις τῶν λιποειδῶν ὡς ἀκολούθως, συμφώνως πρὸς τὴν μέθοδον Folch καὶ συνεργ. (7).

*Ἐκχύλισις.* Τὸ πρὸς ἐκχύλισιν ὑλικὸν δσάκις περιέχει κύτταρα ὑφίσταται κατάψυξιν καὶ ἀναθέρμανσιν διὰ τὴν λύσιν τούτων.

Ἄπομονωμέντα λευκά, διαχωρισθὲν πλάσμα ἡ ὄλικὸν αἷμα ἐκχυλίζονται δι' ἀναταράξεως μετὰ 19 πλασίου ὅγκου μείγματος 2 : 1 χλωροφορμίου - μεθανόλης. Τὸ μεῖγμα διηθεῖται, τὸ δὲ διήθημα ἀναταράσσεται μετ' ὅγκου ⅔ πρὸς ⅓ τοῦ ὅγκου του δι' ὕδατικοῦ διαλύματος  $\text{CaCl}_2$  (0,2%). Μετὰ φυγοκέντρησιν, ἡ μὲν ὑπερκειμένη στοιβὰς ἀπομακρύνεται διὰ σιφωνίου, ἡ δὲ κατωτέρα ἐκπλύνεται τετράκις δι' ἀναταράξεως μετ' ὅγκου ⅔ πρὸς ⅓ τοῦ ὅγκου τῆς διὰ μείγματος  $\text{CH}_3\text{Cl}_2 : \text{CH}_3\text{OH} : \text{H}_2\text{O}$  εἰς ἀναλογίας 15 : 240 : 253.

Μετὰ τὸ πέρας τῆς πλύσεως ἡ στοιβὰς τοῦ χλωροφορμίου συμπυκνοῦται ὑπὸ κενὸν μέχρι ξηροῦ διὰ περιστρεφομένης συσκευῆς κενοῦ τύπου (Laboratory glass & instrument corp). Διὰ τυφλοῦ πειράματος διεπιστώθη ὅτι μετὰ τὴν τετάρτην πλύσιν μόνον 0,01% τῆς προστεθείσης ραδιενεργείας ὑπὸ μορφὴν  $\text{CH}_3\text{COONa} - \text{I} - \text{C}^{14}$  ἀνευρίσκεται εἰς τὴν κατωτέραν τοῦ χλωροφορμίου στοιβάδα.

*Μέτρησις ραδιενέργειας.* Ἡ ραδιενέργεια τῶν διαχωριζομένων κλασμάτων μετρεῖται συμφώνως πρὸς τὴν τεχνικὴν τῆς ἀπλῆς τοποθετήσεως τῶν Enteman et Al (8) εἰς μετρητὴν ραδιενεργείας Geiger — λειτουργοῦντα διὰ ροῆς ἀερίου — τύπου Nuclear - Chicago C-110 B, συνδεδεμένον μετὰ κλίμακος ὑποβιβασμοῦ τύπου 186 καὶ χρονικοῦ ἐκτυπωτοῦ C-1113. Ἡ ἀπόδοσις τοῦ συστήματος διὰ τὸν  $\text{C}^{14}$  εἶναι 14%, καὶ τὸ ὑπόστρωμα 14 κρουσ. /1'. Δὲν ἐγένετο διόρθωσις αὐτοαπορροφήσεως ἔνεκα τοῦ ὅτι ἐτοποθετοῦντο ἐπὶ τῶν πλακιδῶν σταθμικῶς ἐλάχισται ποσότητες λιποειδῶν. Διπλᾶ δείγματα ἐπωάσεων ἐκ τοῦ αὐτοῦ αἵματος δίδουν διαφορὰν κυματομένην μεταξὺ 4, 3-12, 5% καὶ μέσην τιμὴν 7, 3%.

Ἡ ἐνσωμάτωσις τῆς ραδιενεργείας ἐκφράζεται εἰς  $\mu\text{C}/10^{10}$  λευκὰ αίμοσφαίρια.

#### ΗΜΕΤΕΡΑΙ ΠΑΡΑΤΗΡΗΣΕΙΣ ΚΑΙ ΑΠΟΤΕΛΕΣΜΑΤΑ

Ἐχρησιμοποιήθησαν διὸ τὴν παροῦσαν μελέτην λευκὰ αίμοσφαίρια ἐκ 5 φυσιολογικῶν ἀτόμων καὶ 9 λευχαιμικῶν ἀσθενῶν. Ἐκ τῶν τελευταίων εἰς ἔπασχεν ἔξ δέειας, εἰς ἔξ ὑποξείας, τέσσαρες ἐκ χρονίας μυελογενοῦς καὶ τρεῖς ἐκ χρονίας λευφογενοῦς λευχαιμίας.

Τὰ λευκὰ αίμοσφαίρια τῶν ἔξετασθεισῶν περιπτώσεων ἐπιφάσμησαν παρουσίᾳ ραδιενεργοῦ δέεικοῦ νατρίου κατὰ τ' ἀνωτέρω ἐκτεθέντα καὶ προσδιωρίσθη ἡ ἐνσωμάτωσις τῆς ραδιενεργείας εἰς τὰ λιποειδῆ τούτων.

Παρατηρήσεις διαφορᾶς πυκνότητος τοῦ δέεικοῦ νατρίου -  $\text{C}^{14}$  ἐν σχέσει πρὸς

## ΠΙΝΑΞ I.

Έπιδρασις συγκεντρώσεως λευκῶν αίμοσφαιρίων ἐπὶ τῆς ύπο τῶν λιποειδῶν τούτων προσλήψεως φαρμακείας κατόπιν ἐπωάσεως μετὰ  $\text{CH}_3\text{COONa-1-C}^{14}$  \*\*

Συγκέντρωσις λευκῶν αίμοσφαιρίων $\text{X } 10^9/\kappa.\chi\lambda.$			$\mu\text{C } \times 10^{-1}/10^{10}$ κύτταρα
κατὰ τὴν ἐπώασιν			
1	5,7		148,0
2	6,97		144,0
3	6,22		160,0
4	580,00		0,59
5	143,00		7,2
6	95,0		17,0
7	76,5		18,1
7α*	23,0		38,8
8	206,0		9,0
8α*	68,0		33,0

\* Αἷμα τῆς αὐτῆς προελεύσεως ὡς τὸ 7 καὶ 8 ἀραιωθὲν πρὸ τῆς ἐπωάσεως διὰ πλάσματος.

\*\* Συγκέντρωσις  $\text{CH}_3\text{COONa-1-C}^{14}$  κατὰ τὴν ἐπώασιν  $0,5\mu\text{C}/\kappa$  ἔκ.

## ΠΙΝΑΞ II.

Ένσωμάτωσις φαρμακείας εἰς τὰ λιποειδῆ φυσιολογικῶν λευκῶν αίμοσφαιρίων καὶ λευχαιμικῶν ἄνευ θεραπείας.

	Έλαχίστη τιμὴ ***	Μεγίστη τιμὴ ***	Μέση τιμὴ ***
* Φυσιολογικά	7,4	9,7	9
** Λευχαιμικά	9,2	16,7	12

\* Ἀποτελέσματα ἐπὶ τεσσάρων προσδιορισμῶν.

\*\* Ἀποτελέσματα ἐπὶ πέντε προσδιορισμῶν, ἢτοι 4 μυελογενῶν καὶ μιᾶς λεμφογενοῦς λευχαιμίας ἄνευ θεραπείας.

Η συγκέντρωσις τῶν λευκῶν αίμοσφαιρίων κατὰ τὴν ἐπώασιν ἥτοι  $4,5-5,5 \times 10^9$  κύτταρα/ $\kappa.\chi\lambda.$ , τοῦ δὲ  $\text{CH}_3\text{COONa-1-C}^{14} 0,5\mu\text{C}/\kappa$ .— \*Επώασις 6 ὡρῶν.

\*\*\* Τὰ ἀποτελέσματα ἐκφράζονται εἰς  $\mu\text{C}/10^{10}$  κύτταρα, διὰ ἐπώασιν 6 ὡρῶν.

τὸν ἀριθμὸν τῶν λευκῶν αἵμοσφαιρίων, τῶν εὑρισκομένων ἐν ἐπωάσει, ἀπέδειξε (Πίναξ I) τὴν ὑφισταμένην ἀντιστρόφως ἀνάλογον σχέσιν μεταξὺ συγκεντρώσεως λευκῶν καὶ ἐνσωματώσεως ραδιενεργείας εἰς τὰ λιποειδῆ τούτων. Τοῦτο ἔλήφθη ὡς ὅψιν κατὰ τὴν περαιτέρω ἀξιολόγησιν τῆς ἀνὰ κύτταρον ἐνσωματουμένης ραδιενεργείας.

Ο συγκριτικὸς προσδιορισμὸς τῆς ἐνσωματώσεως ραδιενεργείας εἰς τὰ λιποειδῆ τῶν λευκῶν αἵμοσφαιρίων φυσιολογικῶν ἀτόμων πρὸς τὴν τῶν λευχαιμικῶν, οἵτινες δὲν εἴχον ὑποβληθῆ ἐν θεραπευτικὴν ἀγωγήν, ἐμφαίνεται ἐκ τοῦ πίνακος II.

Ἐγένοντο τέσσαρες προσδιορισμοὶ ἐπὶ φυσιολογικῶν καὶ πέντε ἐπὶ λευχαιμικῶν, μὴ ὑποβληθέντων εἰς θεραπείαν. Μετὰ ἕξάρον ἐπώασιν, εἰς μὲν τοὺς φυσιολογικοὺς αἱ τιμαὶ κυμαίνονται μεταξὺ 7,4 μέχρι 9,7  $\mu\text{C}/10^{10}$  κύτταρα καὶ μέσην τιμὴν 9,0  $\mu\text{C}/10^{10}$  κύτταρα, εἰς δὲ τοὺς λευχαιμικοὺς μεταξὺ 9,2 μέχρι 16,7  $\mu\text{C}/10^{10}$  κύτταρα καὶ μέσην τιμὴν 12  $\mu\text{C}/10^{10}$  κύτταρα.

Ἡ συγκέντρωσις τῶν λευκῶν αἵμοσφαιρίων κατὰ τὴν ἐπώασιν ἦτο  $4,5 - 5,5 \times 10^8$  κύτταρα/κ.χ., τοῦ δὲ δέξεικοῦ νατρίου  $- 1 - \text{C}^{14} 0,5 \mu\text{C}/\text{κ.χ.}$

Οθεν παρετηρήθη ηδεξημένη ἐνσωμάτωσις ἐπὶ τῶν λευχαιμικῶν ἀσθενῶν. Αἱ ἐν τῇ παρούσῃ μελέτῃ ἀναφερόμεναι τιμαὶ ἔκφραζουν τὸ σύνολον τῆς εἰς τὰ λιποειδῆ ἐνσωματουμένης ραδιενεργείας καὶ δὲν ἀναφέρονται εἰς ὡρισμένα κλάσματα τούτων, ἀτινα ἐνδεχομένως δυνατὸν νὰ παρουσιάζουν πλέον χαρακτηριστικὴν ἀπόκλισιν. Τοῦτο ἰδιαιτέρως ἐτονίσθη εἰς ἑτέραν μελέτην (6).

Εἰς τὸν πίνακα III παρατίθενται τὰ ἀποτελέσματα τῶν μετρήσεων τῆς ἐνσωματουμένης ραδιενεργείας εἰς τὰ λιπίδια τῶν λευκῶν αἵμοσφαιρίων λευχαιμικῶν ἀσθενῶν ὑπὸ τὴν ἐπίδρασιν θεραπευτικῆς ἀγωγῆς. Εἰς τὸν αὐτὸν πίνακα πρὸς σύγκρισιν παρατίθενται τ' ἀποτελέσματα ἐξ ἀναλόγου πειράματος ἐπὶ λευκῶν αἵμοσφαιρίων φυσιολογικοῦ ἀτόμου, μὴ ὑποκειμένου εἰς τὴν ἐπίδρασιν φαρμάκου τινὸς (περίπτωσις 1/54).

Εἰς τὰς περιπτώσεις 2/49 (χρονία λεμφογενῆς λευχαιμία ἐπὶ 20ήμερον θεραπευομένη διὰ Chlorambucil (Leukeran) καὶ κορτικοειδῶν. Λ. αἵμ. 70.000/κ.χ.) καὶ 3/50 (χρονία μυελογενῆς λευχαιμία θεραπευομένη μόνον ἀπὸ τριημέρου διὰ Busulfan 15mg. ἐν συνόλῳ, Λ. αἵμ. 100.000/κ.χιλ.) ἡ ἐνσωμάτωσις τῆς ραδιενεργείας εἶναι ἐντὸς τῶν φυσιολογικῶν ὅρῶν. Ἐν ἀντιθέσει εἰς τὴν περίπτωσιν 4/52 (δέξια μυελογενῆς λευχαιμία θεραπευομένη ἀπὸ 70 ήμερῶν διὰ 6 - Μερκαπτοπουρίνης καὶ κορτικοειδῶν, Λ. αἵμ. 7.000/κ.χιλ.) ἡ ἐνσωμάτωσις εὑρέθη μειωμένη.

Εἰς τὸν πίνακα IV παρατίθενται αἱ πρὸ τῆς θεραπείας καὶ μετ' αὐτὴν ἐνσωματώσεις ραδιενεργείας εἰς τὰ λιποειδῆ τῶν λευκῶν αἵμοσφαιρίων τῶν αὐτῶν ἀσθενῶν, κατόπιν ἐπωάσεως ὑπὸ δόμοίας συγκεντρώσεις.

In vitro ένσωμάτωσις φαρμακευθείσης λευκών αδέρμων φυσιολογικῶν άτόμων καὶ λευχαιμιῶν μετὰ τὴν θεραπείαν ἢ κατὰ τὴν διάρκειαν αὐτῆς.

	Γένος, "Ηλικία	Δάγκωσις καὶ ήρόνος ἀπὸ ταύτης	Αδέρμων εἰκὼν *	Θεραπεία	Συγγέντρωσις λευκῶν κατὰ τὴν ἐπώασιν καττ./mm <sup>3</sup>	'Ένσωμάτωσις φαρμακευθείσης μC/10 <sup>10</sup> κάτταρα
1/54	♂/32	Φυσιολογικῶν	Π=65, Α=28, Η=2, ΜΜ=4, Ρ=1 5200/mm <sup>3</sup>	Οὐδεμία	5.200	9.3
2/49	♂/48	Χρονία λευκρογένης λευχαιμία ἀπὸ 20ημέρου	Π=3, Α=94, "Αωρα=3 70 000/mm <sup>3</sup>	Chlorambucil ἐπὶ 20ήμερον 4-6 mg/ἡμ. + Οριόνυμα φλοιοῦ ἐπινεφριδίων	5.200	11.6
3/50	♂/52	Χρονία μυελογένης λευχαιμία ἀπὸ 6 ἡμερῶν	Π=58, Α=2, Ρ=8, Μ. καττ.=2, Μαελ.=28, Μβλ.=2 100.000/mm <sup>3</sup>	"Ἐπὶ 3 ἡμέρας 4-6 mg ἡμερήσιως Busulfan (Myleran)	7.600	9.3
4/52	♂/28	'Οξεῖα μυελογένης λευχαιμία ἀπὸ 3,5 μηνῶν	Π=26, Α=12, Π. καττ.=2, Μβλ.=60 7.000/mm <sup>3</sup>	6 μεροκτονοῦν ἐπὶ 2,5 μῆνας 130 mg/ ἡμερ. + Οριόνυμα φλοιοῦ ἐπινεφριδίου	5.400	8.0

\* Λ = Λευφοκύταρα. Π = Πολυμορφοπόνηρα. Β = Βασεόφλα. Η = Ηωσιόφλα. ΜΜ = Μεγάλα Μονούρηρα. Ρ = Ραβδοπόνηρα.  
Μβλ. = Μυελοβλάσται. Π-Μυελ. = Προμυελοκύταρα. Μυελ. = Μυελοκύταρα. Μ. Μυελ. = Μεταμυελοκύταρα. Μ. καττ. = Μονοκύταρα.

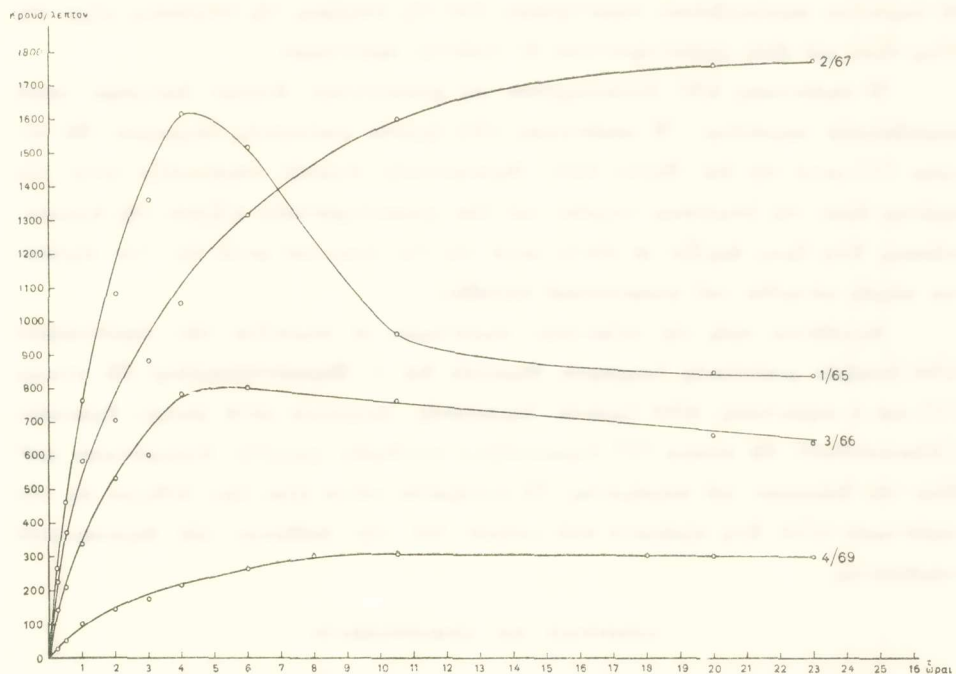
## ΠΙΝΑΞ IV.

In vitro έντοπισμάτων ραδιενέργειας έκανε  $\text{CH}_3\text{COONa}-\text{I}-\text{C}^{14}$  είς τὰ ληπτοφέδη τῶν λευκών αίμαστρων λευχαιμικῶν ἀσθενῶν πρὸ τῆς θεραπείας καὶ μετ' αὐτήν.

*	$\alpha/\alpha$	Γένος. Ηλικία.	Διάγνωσις καὶ θεραπεία	Αιματολογικὴ <sup>1</sup> εἰκόνων. Αριθμ. λευκῶν 5 καὶ λ.	Πρὸ τῆς θεραπείας	Συγκέντρωσις λευκῶν καὶ τὴν ἐπόχασιν καττ.	Ενσωμάτωσις οὐδενεργίας $\mu\text{C}/1010$ καττ.	Μετὰ τὴν θεραπείαν	Συγκέντρωσις λευκῶν πατέ τὴν ἐπόχασιν καττ.	Αριθμὸς λευκῶν ἀνά καττ.	Ενσωμάτωσις οὐδενεργίας $\mu\text{C}/1010$ καττ.
Π	Δ	Ρ	Π	Δ	Ρ	Π	Δ	Ρ	Π	Δ	Ρ
1 56/65	28/♂		Χρονία μελογένης λευχαιμία. Οնδρεμία	Π=55, Δ=2, P=7, MM=2, Mβλ.=4, Π. Μυελ.=11, Μνελ.=12, M. Μυελ.=7 200.000		8,500	9,2	Bayer 3231 4,0 mg εἰς διάστημα 6ημέρου	127,000	8,500	11,2
2 73/80	60/♀		Χρονία μελογένης λευχαιμία. Ονδρεμία	Π=52, Δ=2, P=12, MM=2, Mβλ.=2, Μ. κυτ.=18, Μ. Μυελ.=10, Π. Μυελ.=2 64.000		7,500	13,0	Bayer 3231 1,2 mg εἰς διάστημα 14 ημερῶν	16,000	7,500	12,0
3 53/66	40/♀		Υποξεια μελογένης λευχαιμία. Ονδρεμία	Π=32, Δ=3, Βασ.=7 P=2, Μυελ.=15, M. Μυελ.=41 11.000		8,500	11,0	6 Μερκαπτο- πουνίη 400 mg εἰς διάστημα 4 ημερῶν	6,000	8,500	6,4
4 55/69	65/♂		Χρονία λευ- φογής μέχρι <sup>2</sup> πρὸ 2ημέρου Chloram- bucil	Π=6, Δ=87, P=1, H=2, M=4 34.800		8,700	6,4	Chloram- bucil 12 mg εἰς διάστημα 3 ημερῶν	18,700	8,700	1,8

\* Ο δεύτερος ἀριθμὸς ἔκαστης περιπτώσεως ἀναφέρεται εἰς προσδιοισμὸν μετὰ θεραπείαν.

Είς τάς περιπτώσεις 56/65 καὶ 73/80 χρονίας μυελογενοῦς λευχαιμίας ἡ χορήγησις Trenimon (Bayer 3231 ἡ 2,3,5 - τριαιθυλενιμινο - βενζοκινόνη 1,4) προεκάλεσεν, εἰς τὴν μὲν πρώτην σαφῆ αὔξησιν τῆς ἀνὰ κύτταρον ἐνσωματωμένης ραδιενεργίας, ἥτοι ἀπὸ  $3.2 \mu\text{C}/10^{10}$  κύτταρα πρὸ τῆς ἐνάρξεως τῆς θεραπείας εἰς  $11.2 \mu\text{C}/10^{10}$  κύτταρα, ἐνῷ εἰς τὴν δευτέραν ἐκ τῆς ὑψηλῆς τιμῆς  $13.0 \mu\text{C}/10^{10}$  κυτ. μικρὰν μείωσιν εἰς  $12.0 \mu\text{C}/10^{10}$  κυτ. Εἰς τὴν περίπτωσιν 53/66 δξείας δυελογενοῦς λευχαιμίας, ἥτις ὑπεβλήθη ἐπὶ 4ήμερον εἰς τὴν θεραπείαν διὰ 6 - Μερκαπτοπουρίνης, παρετηρήθη σαφής πτῶσις ἀπὸ  $11.0 \mu\text{C}/10^{10}$  εἰς  $6.4 \mu\text{C}/10^{10}$  κύτταρα,



Σχ. 1.—Ἐπίδρασις τοῦ χρόνου ἐπωάσεως ἐπὶ τῆς ἐνσωματώσεως ραδιενεργείας εἰς τὰ λιποειδῆ λευκῶν αἵμοσφαιρίων καὶ πλάσματος φυσιολογικοῦ ἀτόμου καὶ λευχαιμικῶν ἀσθενῶν μετὰ θεραπείαν. Διὰ λεπτομερεῖας ἐπὶ τῶν ἀναφρεσμένων λευχαιμικῶν περιπτώσεων βλέπε πίνακα IV. Ἐπωάσεις διαχρονισθέντων λευκῶν αἵμοσφαιρίων ἐν μείγματι μετὰ τοῦ πλάσματος αὐτῶν παρονσίᾳ  $\text{CH}_3\text{COONa}$  I  $\text{C}^{14}$   $0.5 \mu\text{C}/\text{κ.}\text{έκ.}$   $^3\text{H}$  συγκέντρωσις τῶν λευκῶν αἵμοσφαιρίων ἦτο  $8.5 - 8.7 \times 10^8$  κύτταρα /κ. χιλ.

Λίαν ἐνδιαφέρουσα εἶναι ἡ περίπτωσις 55/69 χρονίας λευφογενοῦς λευχαιμίας, ἥτις μέχρι πρὸ 20ημέρου ἀπὸ τῆς πρώτης μετρήσεως εἶχεν ὑποβληθῆ ἐπὶ παρατεταμένην θεραπείαν διὰ Chlorambucil (Leukeran). Κατὰ τὴν πρώτην μέτρησιν ἡ ἐνσωμάτωσις τῆς ραδιενεργείας εὑρέθη σημαντικῶς ἡλαττωμένη,  $6.4 \mu\text{C}/10^{10}$  κυτ., ὁ δὲ ἀριθμὸς τῶν λευκῶν ἀνήρχετο εἰς 34.800/κ.χιλ. Μετὰ τὴν ἐπακολουθήσασαν νέαν

χορήγησιν Chlorambucil ἐπὶ τριήμερον καὶ δι' ὅλικου ποσοῦ 12 mg. ὁ ἀριθμὸς τῶν λευκῶν κατῆλθεν εἰς 18.700/κ.χ., ἡ δὲ ἐνσωμάτωσις κατῆλθεν εἰς χαμηλότατα ἐπίπεδα, 1,8 μC/10<sup>10</sup> κύτταρα.

Ἐθεωρήθη σκόπιμον, ὅπως εἰς ὥρισμένας περιπτώσεις μελετηθῇ ἡ ἐνσωμάτωσις τῆς ραδιενεργείας ἐξ ὀξεικοῦ Νατρίου - 1 - C<sup>14</sup>, συναρτήσει τοῦ χρόνου ἐπωάσεως τῶν λευκῶν αἵμοσφαιρίων.

Εἰς τὸ σχῆμα I σημειοῦνται αἱ καμπύλαι ἐνσωματώσεως τῆς ραδιενεργείας τριῶν λευχαιμικῶν περίπτωσεων καὶ μιᾶς φυσιολογικῆς. Αἱ μετρήσεις τῆς ἐνσωματουμένης ραδιενεργείας ἔγενοντο ἀνὰ σταθερὰ χρονικὰ διαστήματα δι' ὅλας τὰς περιπτώσεις. Αἱ καμπύλαι περιλαμβάνουν παρατηρήσεις ἀπὸ τῆς ἐπάρξεως τῆς ἐπωάσεως μέχρι τῆς 23ης ὥρας καὶ εἶναι χαρακτηριστικαὶ δι' ἔκαστην περίπτωσιν.

Ἡ περίπτωσις 2/67 ἀντιστοιχοῦσα εἰς φυσιολογικὸν ἀτομον διαγράφει σαφῆ παραβολικὴν καμπύλην. Ἡ περίπτωσις 1/65 (χρονία μυελογενής λευχαιμία· ἵδε πίνακα IV) μετὰ τὴν διὰ Bayer 3231 θεραπευτικὴν ἀγωγὴν παρουσιάζει κατὰ τὰς πρώτας ὥρας τῆς ἐπωάσεως ταχεῖαν καὶ λίαν χαρακτηριστικὴν αὔξησιν τῆς ἐνσωματώσεως, ἡτις ὅμως ἀρχίζει νὰ πίπτῃ μετὰ τὴν 5ην ὥραν καὶ μετὰ τὴν 7ην εὑρίσκεται σαφῶς κάτωθεν τοῦ φυσιολογικοῦ ἐπιπέδου.

Ἀντιθέτως πρὸς τὴν τελευταίαν περίπτωσιν, αἱ καμπύλαι τῶν περιπτώσεων 3/66 (ὕποξεῖα μυελογενής λευχαιμία, θεραπεία διὰ 6 - Μερκαπτοπουρίνης· ἵδε πίνακα IV) καὶ ἡ περίπτωσις 4/69 (χρονία λεμφογενής λευχαιμία μετὰ μακρὰν θεραπείαν Chlorambucil· ἵδε πίνακα IV) παρουσιάζουν σταθερῶς χαμηλὴν ἐνσωμάτωσιν καθ' ὅλην τὴν διάρκειαν τοῦ πειράματος. Τὸ φαινόμενον τοῦτο εἶναι λίαν ἔκδηλον εἰς τὴν περίπτωσιν 4/69, ἡτις εὑρίσκετο ἀπὸ μακροῦ ὑπὸ τὴν ἐπίδρασιν τοῦ θεραπευτικοῦ παράγοντος.

#### ΣΥΖΗΤΗΣΙΣ ΚΑΙ ΣΥΜΠΕΡΑΣΜΑΤΑ

Ἡ ἐνσωμάτωσις τῆς ραδιενεργείας εἰς τὰ λιποειδῆ τῶν λευκῶν αἵμοσφαιρίων λευχαιμικῶν *in vitro* παρουσιάζεται ηὖξημένη, ἀντανακλῶσα ἐνδεχομένην αὔξησιν τοῦ μεταβολισμοῦ τῶν λιποειδῶν ὑπὸ τὴν ἐπίδρασιν τῆς νόσου.

Ἡ ἐπίδρασις τῶν κυτταροστατικῶν παραγόντων ἐπὶ τῆς συνθέσεως τῶν λιποειδῶν τῶν λευκῶν αἵμοσφαιρίων λευχαιμικῶν ἀσθενῶν δὲν δύναται ἐφ' ὅλων τῶν περιπτώσεων νὰ κριθῇ ὡς ἀναστατωτική, δεδομένου ὅτι παρετηρήθη καὶ σαφῶς διεγερτικὴ τοιαύτη.

Ἐπὶ ἐπερχομένης ἀναστολῆς τῆς ἐνσωματώσεως τῆς ραδιενεργείας, αὗτη δὲν εἶναι ὅμοιειδῆς κατὰ τὸ ποσὸν καὶ τὸν ρυθμόν. Τοῦτο ισχύει καὶ εἰς τὴν περίπτωσιν ἀναγωγῆς τῆς συγκρίσεως εἰς τὴν ἀνὰ κύτταρον κατανομὴν αὐτῆς.

Είναι έκτος πάσης άμφιβολίας, ότι μεγάλος χρισμός παραγόντων έπηρεάζει τὸ παρατηρηθὲν φαινόμενον. Πλὴν τῆς ιδιομορφίας τῆς νόσου καθ' ἔκυρην, ὑφίσταται καὶ δυνατότης ἐμφανίσεως παραχλάξεων τῶν ἔξαλλαγέντων κυττάρων, λόγῳ τῆς ἐπιδράσεως τοῦ κυτταροτοξικοῦ παράγοντος. Δὲν δύναται ἐπίσης νὰ ἀποκλεισθῇ καὶ βαθμὸς διεγερτικῆς δράσεως τοῦ κυτταροτοξικοῦ παράγοντος κατὰ τὴν ἔναρξιν τῆς θεραπείας.

Τοῦτο δυνατὸν νὰ ἔξηγῃ, διατὶ βραχυχρόνιος θεραπευτικὴ ἀγωγὴ δὲν ἐπιδρᾷ ἀνασταλτικῶς ἐπὶ τῆς ἐνσωματώσεως τῆς ραδιενεργείας εἰς τὰ λιποειδῆ τῶν ἐν ἐπωάσει λευκῶν αἷμοσφαιρίων λευχαιμικῶν ἀσθενῶν. Ἀντιθέτως ὑπάρχουν περιπτώσεις, ὅπου ἡ ἐνσωμάτωσις καὶ σύνθεσις λιποειδῶν φαίνεται διεγειρομένη ὑπὸ τοῦ κυτταροτοξικοῦ παράγοντος (περίπτωσις 56/65).

Ἐν τούτοις ἐπὶ τῶν πειραμάτων, ἀτινα ἐγένοντο συναρτήτει τοῦ χρόνου ἐπωάσεως, ἡ αὔξησις αὕτη λαμβάνει ἑτέραν μορφὴν καὶ ἔξηγησιν. Κατὰ τὸ πείραμα τοῦτο, σημειοῦμεν ἐνίστε ταχύτερον ρυθμὸν τῆς αὔξησεως διὰ τὰς πρώτας μόνον ὥρας, ἥτις ἀκολουθεῖται ὑπὸ πτώσεως (πολὺ κάτωθεν τοῦ φυσιολογικοῦ) καὶ ἐπιφέρει μετὰ 23 ώρων ἐπώχσιν χαμηλοτέραν συνολικὴν τιμὴν ἐνσωματώσεως τοῦ φυσιολογικοῦ.

Ἐνδιαφέρουσα εἶναι ἐπίσης ἡ εἰκὼν τῆς ἐνσωματώσεως ραδιενεργείας εἰς τὰ λιποειδῆ λευκῶν αἷμοσφαιρίων μετὰ μακρὰν θεραπευτικὴν ἀγωγήν. Χαρακτηριστικὸν παράδειγμα ἡ περίπτωσις 4/69 εἰς τὴν ὁποίαν ἡ μετὰ 6 ώρων ἐπώχσιν ἐνσωματωθεῖσα ραδιενέργεια εἶναι ἀσήμαντος καὶ ἡ ἀλίσις τῆς καμπύλης συναρτήσει τοῦ χρόνου, ὡς εἰς τὸ Σχῆμα 1 ἐμφαίνεται μικροτέρα.

Ἡ σημασία τῶν παρατηρήσεων τούτων θὰ ἡδύνατο εὐρύτατα νὰ ἐπεκταθῇ τόσον ἐπὶ τῆς δράσεως τῶν κυτταροστατικῶν εἰς τὴν σύνθεσιν τῶν λιποειδῶν, ὅσον καὶ τὴν σημασίαν τούτων διὰ τὴν νόσον.

Παλαιότεραι παρατηρήσεις θεωροῦν τοὺς ἀζωθυπερίτας ὑπευθύνους διὰ τὴν ἀναστολὴν τῶν φωσφορυλιώσεων τῶν μονοπυρηνοπρωτεΐῶν (9) πιθανῶς ἔνεκα τῆς γνωστῆς εὐαισθησίας εἰς τούτους τῶν φωσφοροκινασῶν (10).

Ἐν τούτοις τὰ εἰς κεῖρας μακις δεδομένα δίδουν τὴν εἰκόνα τῆς γενικῆς συμπεριφορᾶς τῶν λιποειδῶν καὶ ἡ ἔρευνα διὰ περαιτέρω κλασματώσεων τούτων εἶναι ἀναγκαία πρὸς πλήρη ἀξιολόγησιν τῶν ἐπιτευχθέντων ἀποτελεσμάτων.

*ΣΗΜ.* Οἱ συγγραφεῖς εὐχαριστοῦν θερμῶς τὸν Καθηγητὴν τῆς Βιοχημείας τοῦ Πανεπιστημίου Καλιφορνίας καὶ Διευθυντὴν τοῦ ἐκεῖ Ἐργαστηρίου Πυρηνικῆς Ιατρικῆς κ. James F. Mead διὰ τὸ ἐνδιαφέρον τὸ ὄποῖον ἐπέδειξεν εἰς τὴν παροῦσαν μελέτην. Ἐπίσης τὸν ἐμπειρογνώμονα τῆς Διεθνοῦς Ἐπιτροπῆς Αιτιολογίας κ. E. H. Belcher, δότις συνέβαλε μεγάλως διὰ τῆς πείρας τον καὶ τῶν συμβουλῶν του καθ' ὅλην τὴν διάρκειαν τῆς ἔρευνης. Τέλος εὐχαριστίας ἐκφράζομεν εἰς τὸ ίμῆμα Φυσικῆς τῆς Διευθύνσεως Ἰστούπολιν τῆς Θεραπευτικῆς Κλινικῆς καὶ ἰδιαιτέρως εἰς τὸν Διευθυντὴν κ. Δ. Μπινόπουλον διὰ τὰς προσπαθείας ποὺ κατέβαλεν εἰς πλεῖστα τεχνικὰ σημεῖα.

## SUMMARY

1) The ratio of leucocytes concentration to acetate -  $\text{I-C}^{14}$  in relation to the incorporated radioactivity in the leucocyte lipids has been studied.

This factor is important for the reproducibility of experiments of this kind.

2) The incorporation in vitro of acetate -  $\text{I-C}^{14}$  into lipids by leucocytes from normal and leukemic patients has been measured and higher incorporation in some leukemic cases has been observed.

3) After treatment the incorporation of acetate -  $\text{I-C}^{14}$  in lipids, is lower than normal while, in some cases a possible short-term activation has been noticed.

(From the Department of Clinical Therapeutics University of Athens).

## ΒΙΒΛΙΟΓΡΑΦΙΑ

1. LAW, I. W., Cancer Res. 16, 698 (1956).
2. CARTWRIGHT, G. E., PALMER, J. G., HITCHINGS, H. G., ELION, G. B., GUNN, F. D. and WINSTROBE, W. M., J. Lab. and Clin. Med. 35, 518 (1950).
3. JACOBSON, W., Symposium on the evaluation of drug toxicity Page 99 Churchill (1958) England.
4. HIRONO, I., Proc. Soc. exp. Biol. N. Y. 88, 147 (1955).
5. JACKSON, H., Brit. J. Cancer, 8, 336 (1954).
6. ΜΟΙΡΑΣ Κ., ΛΕΒΗΣ Γ., Πρακτ. Ἀκαδημίας Ἀθηνῶν σ. 15 κ.ξ. τοῦ παρόντος τόμου.
7. FOLCH, J., LEES, M., J. Biol. Chem. 226, 497 (1957).
8. ENTENMAN, C., LERNER, S. R., CKAIKOFF, I. L. and DANBEN, W. C., Proc. Soc. Exp. Biol. Med. 70, 364 (1949).
9. DRYSTALE, K. B., HOPKINS, A., THOMSON R. Y., SMELLIE, M. S. and DAVINSON, I. N., Brit. J. Cancer 12, 137 (1958).
10. NEEDHAM, D. M., Biochem. Soc. Symposia 2, (1958).